

Wydział	Dzień poniedziałek 17 ¹⁵ – 19 ³⁰		Nr zespołu
Matematyki i Nauk Informatycznych	Data		18
Nazwisko i Imię: 1. Jasiński Bartosz 2. Sadłocha Adrian 3. Wódkiewicz Andrzej	Ocena z przygotowania	Ocena ze sprawozdania	Ocena Końcowa
Prowadzący dr hab. Katarzyna Grebieszko		Podpis prowadzącego	

Sprawozdanie nr 1

1. Opis ćwiczenia

Ćwiczenie miało na celu zbadanie stopnia osłabienia promieniowania γ przy przejściu przez 3 różne materiały:

1. Ołów - Pb
2. Miedź - Cu
3. Aluminium - Al

1.1. Wstęp teoretyczny

Promieniowanie γ jest to obok promieniowania α oraz β jedno z trzech podstawowych rodzajów promieniowania występujących w przyrodzie. Jest ono wysokoenergetyczną formą promieniowania elektromagnetycznego, o energii kwantu większej od 50 keV. Podczas zachodzenia przemiany γ następuje pozbycie się nadmiaru energii z jądra atomowego. Liczba nukleonów w jądrze pozostaje bez zmiany. Pozostałe rodzaje promieniowania polegają na emitowaniu cząstek. Odpowiednio dla przemiany α jest to cząstka która składa się z 2 protonów i 2 neutronów, czyli jest jądrem izotopu atomu helu, jest to najmniej przenikliwe promieniowanie z wymienionych. Przemiana β dzieli się na dwa rodzaje β^- oraz β^+ , w pierwszej emitowany jest elektron oraz antyneutrino elektronowe, natomiast w drugim pozyton i neutrino elektronowe. Promieniowanie γ przenika przez materiał, podczas tego procesu oddziałuje ono z elektronami oraz jądrami atomów. Występują 3 zjawiska w których bierze udział cząstka γ :

1. rozpraszanie Komptonowskie
2. zjawisko fotoelektryczne
3. tworzenie par elektron-pozyton

Zjawisko Comptona polega na rozpraszaniu się cząstek promieniowania na elektronach które możemy traktować jako swobodne (znajdują się one na ostatnich orbitach w atomie). Jako rezultat oddziaływania otrzymujemy kwant γ który zmienia kierunek oraz oddaje od część energii dla elektronu.

Zjawisko fotoelektryczne zachodzi pomiędzy cząstkami γ a elektronami znajdującymi się na orbitalach blisko jądra atomowego. Po jego zejściu kwant zostanie pochłonięty i elektron zostanie oderwany od atomu oraz otrzyma pewną energię kinetyczną.

Tworzenie się par elektron-pozyton polega na stworzeniu pary cząstek przy oddziaływaniu kwantów γ z jądrami atomowymi. Energią progową do zajścia tego zjawiska jest 1.02 MeV co jest sumaryczną energią elektronu i pozytonu.

W naszym doświadczeniu jako źródła promieniowania używaliśmy $^{60}_{27}\text{Co}$ którego czas połowicznego rozpadu wynosi 5 lat. Zgodnie ze wzorem

$$N(t) = N_0 e^{-\lambda t}$$

gdzie: $N(t)$ – liczba jąder promieniotwórczych, które nie uległy rozpadowi do chwili czasu t , N_0 – liczba jąder promieniotwórczych w chwili czasu $t = 0$, $N(0) = N_0$, λ – stała, zwana stałą rozpadu.

Promieniowanie wysyłane przez naszą próbkę podczas trwania eksperymentu możemy traktować jako stałe ponieważ czas trwania doświadczenia (1h) jest znikomy w porównaniu do 5 lat.

Następujący wzór:

$$I = I_0 e^{-\mu x}$$

gdzie: $I(x)$ – natężenie wiązki po przejściu przez absorbent o grubości x , $I_0 = I(0)$ – początkowe natężenie wiązki, μ – współczynnik osłabienia promieniowania gamma

opisuje związek natężenia wiązki wypromieniowanej po przejściu przez absorbent grubości x . Możemy go wyprowadzić w następujący sposób: Do pochłaniania promieniowania γ w materii przyczyniają się 3 wcześniej wymienione zjawiska. Możemy to zapisać zależnością

$$\mu = \mu_c + \mu_f + \mu_p$$

do sumy włączają się zjawisko Comptona, fotoelektryczne oraz tworzenie się par elektron-pozyton. Jako że zmniejszenie się natężenia kwantów γ jest wprost proporcjonalne do grubości materii przez którą one przeleżą możemy zapisać następującą zależność:

$$-dI = B I dx$$

z czego po scałkowaniu otrzymujemy:

$$I(x) = I_0 e^{-Bx}$$

co daje nam wzór na osłabienie wiązki z współczynnikiem $B = \mu$. W naszym doświadczeniu chcemy właśnie wyznaczyć współczynnik osłabienia μ lecz nie jesteśmy tego w stanie zrobić metodą bezpośrednią (mierząc natężenie początkowe I_0). By wyznaczyć wspomniany współczynnik posłużymy się metodą najmniejszych kwadratów w następujący sposób:

Logarytmujemy obie strony wyznaczonego wzoru na osłabienie promieniowania otrzymując:

$$\ln(I) = \ln(I_0) - \mu x$$

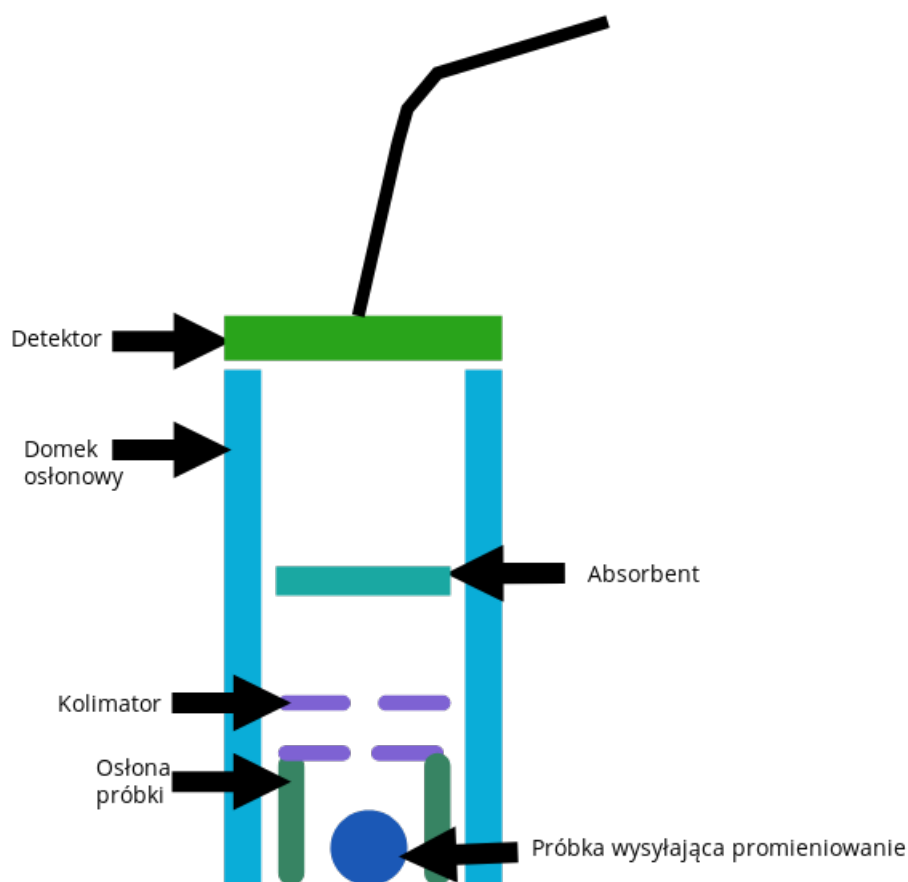
teraz możemy dokonać podstawienia $\ln(I) = y$ oraz $\ln(I_0) = b$ i $\mu = a$ dzięki czemu otrzymujemy równanie prostej:

$$y = ax + b$$

Z czego po przeprowadzeniu serii pomiarów możemy wyznaczyć wspomniany wcześniej współczynnik

1.2. Układ pomiarowy

Do przeprowadzenia obu części ćwiczenia posłużono się układem pomiarowym, przedstawionym na rysunku 1. Do ruchomego elementu połączonego z nieruchomym statywem przymocowana była długa, nierozciągliwa nitka, o znikomo małej masie, z zamocowanym na jej końcu metalowym obciążnikiem. Statyw pozwalał na modyfikowanie długości wahadła. Do statywu przytwierdzony był również kątomierz oraz linijka, służące do pomiaru kolejno: kąta maksymalnego wychylenia wahadła oraz zmiany długości wahadła różnicowego. Pod statywem znajdował się elektroniczny układ pomiarowy, złożony z fotokomórki oraz modułu sterowania, za pomocą którego mierzony był okres wahadła.



Rysunek 1: Schemat układu pomiarowego

2. Pomiary i obliczenia

2.1. Badanie zależności okresu drgań wahadła od kąta wychylenia

Dokonano po 10 pomiarów dwóch okresów wahadła dla sześciu różnych kątów maksymalnego wychylenia wahadła. Wartości kątów wynosiły kolejno: 5° , 10° , 15° , 20° , 25° i 30° . Wyniki pomiarów znajdują się w tabeli 1. Sporządzono również dwa wykresy: wartości średniej dwóch okresów wahadła względem kąta maksymalnego wychylenia oraz odchylenia standardowego pomiaru dla danego kąta (kolejno rysunki ??, ??).

Długość wahadła nie była znana eksperymentatorom – linijka używana w układzie pomiarowym nie wskazywała bezwzględnej długości nici (służyła do odczytywania zmian długości nici wahadła różnicowego). Dlatego też w tym doświadczeniu nie można było wykorzystać zmierzonej wartości okresu wahadła do wyliczenia przyspieszenia ziemskiego.

Z wykresu na rysunku ?? można wywnioskować, że po pierwsze: **istnieje nie stała** funkcja długości okresu wahadła od kąta maksymalnego wychylenia (wartość średnia nie jest stała dla kolejnych kątów) oraz po drugie: funkcja ta jest **nieliniowa**. Uzyskane wyniki są zgodne z rozważaniami teoretycznymi (patrz wzór ??).

	$2T(\alpha = 5^\circ)$	$2T(10^\circ)$	$2T(15^\circ)$	$2T(20^\circ)$	$2T(25^\circ)$	$2T(30^\circ)$
1	2.6285	2.6343	2.6368	2.6454	2.6585	2.6701
2	2.6295	2.6346	2.6359	2.6463	2.6589	2.6711
3	2.6295	2.6344	2.6402	2.6467	2.6582	2.6714
4	2.6307	2.6366	2.6394	2.6470	2.6590	2.6709
5	2.6296	2.6358	2.6408	2.6467	2.6578	2.6701
6	2.6286	2.6350	2.6404	2.6463	2.6593	2.6685
7	2.6285	2.6342	2.6396	2.6463	2.6574	2.6698
8	2.6303	2.6350	2.6401	2.6477	2.6588	2.6696
9	2.6287	2.6352	2.6395	2.6476	2.6583	2.6694
10	2.6298	2.6350	2.6396	2.6485	2.6584	2.6708
$\overline{2T}$	2.62937	2.63501	2.63923	2.64685	2.64685	2.67017
$s(2T)$	0.00078	0.00074	0.00160	0.00089	0.00057	0.00089

Tabela 1: Seria pomiarów czasu trwania 2 okresów wahadła w zależności od kąta wychylenia

Nie zaobserwowano natomiast żadnej zależności między odchyleniem standardowym pomiarów a kątem maksymalnego wychylenia (rysunek ??).

2.2. Badanie zależności okresu drgań od zmian długości wahadła

Przekształcając wzór ?? otrzymujemy zależność:

$$l = g \frac{T^2}{4\pi^2} \frac{1}{f^2(\theta_{max})}$$

Dalej, korzystając z podstawienia

$$g' = \frac{g}{f^2(\theta_{max})}$$

oraz z faktu, że odczytywana z linijki długość wahadła nie jest jego rzeczywistą długością – wartości na linijce zmieniają się **odwrotnie proporcjonalnie** do długości wahadła – otrzymujemy

finalnie:

$$l_{odczyt} = -g' \frac{T^2}{4\pi^2} \quad (1)$$

W ten sposób po dokonaniu pomiarów okresu przy zmiennej długości wahadła można skorzystać z regresji liniowej i wyznaczyć nachylenie prostej, a w rezultacie wartość g .

Pomiary okresu dla małego kąta

Po przeprowadzeniu pomiarów dla kąta $\theta_{max} = 10^\circ$ dokonano wyznaczenia przyspieszenia ziemskiego przy użyciu metody najmniejszych kwadratów. Wyniki pomiarów wraz z obliczeniami cząstkowymi oraz oznaczenia X, Y znajdują się w tabeli 2. W celu wyznaczenia współczynników regresji liniowej, jak i ich niepewności pomiarowych skorzystano ze wzorów:

$$a = \frac{n\Sigma XY - \Sigma X \Sigma Y}{n\Sigma X^2 - (\Sigma X)^2}$$

$$b = \frac{1}{n} (\Sigma Y - a\Sigma X)$$

$$u(a) = \sqrt{\frac{n}{n-2} \frac{\Sigma Y^2 - a\Sigma XY - b\Sigma Y}{n\Sigma X^2 - (\Sigma X)^2}}$$

$$u(b) = u(a) \cdot \sqrt{\frac{\Sigma X^2}{n}}$$

Uzyskane wartości wyniosły: $a = -9.789(31)$, $b = 909.4(1.5)$, zatem przekształcając a zgodnie ze wzorem (1):

$$g' = 9.789(31) \frac{m}{s^2}$$

Ponieważ kąt maksymalnego wychylenia jest dostatecznie mały oraz z powodów dydaktycznych ćwiczenia, w tym kroku doświadczenia celowo pominięto korektę na anharmoniczność.

	l (mm) = Y	$2T$ (s)	$1000T^2/4\pi^2 = X(s^2)$	X^2	Y^2	XY
1	480	2.6325	43.885094	1925.9015	230400	21064.845
2	460	2.6918	45.884484	2105.3859	211600	21106.863
3	440	2.7515	47.942349	2298.4688	193600	21094.634
4	420	2.8101	50.006196	2500.6196	176400	21002.602
5	400	2.8676	52.073578	2711.6575	160000	20829.431
6	380	2.9218	54.060647	2922.5536	144400	20543.046
Σ	2580	16.6753	293.852348	14464.5869	1116400	125641.421

Tablica 2: Pomiary 2 okresów wahadła dla maksymalnego kąta wychylenia $\theta_{max} = 10^\circ$ w zależności od l wraz z obliczeniami do wyznaczenia regresji liniowej

Pomiary okresu dla dużego kąta

Następnie dokonano pomiarów dla kąta $\theta_{max} = 25^\circ$. Dokonano analogicznych obliczeń (patrz Tabela 3). Uzyskane wartości parametrów prostej to: $a = -9.658(23)$, $b = 911.6(1.1)$, zatem

$$g' = 9.658(23) \frac{m}{s^2}$$

Korzystając z korekty na anharmoniczność drgań dla pierwszych 3 wyrazów szeregu ze wzoru (??)

$$K(\theta_{max}) = \left(1 + \frac{1}{16}\theta_{max}^2 + \frac{11}{3072}\theta_{max}^4 + \dots\right)$$

uzyskujemy:

$$g = g' \cdot 1.0120289 \approx 9.773(23) \frac{m}{s^2}$$

	l (mm) = Y	$2T$ (s)	$1000T^2/4\pi^2 = X(s^2)$	X^2	Y^2	XY
1	480	2.6582	44.74614	2002.2170	230400	21478.147
2	460	2.7160	46.71322	2182.1249	211600	21488.081
3	440	2.7764	48.81399	2382.8056	193600	21478.136
4	420	2.8339	50.85683	2586.4132	176400	21359.869
5	400	2.8918	52.95620	2804.3591	160000	21182.480
6	380	2.9494	55.08681	3034.5566	144400	20932.988
Σ	2580	16.8257	299.17319	14992.4764	1116400	127919.701

Tablica 3: Pomiary 2 okresów wahadła dla maksymalnego kąta wychylenia $\theta_{max} = 25^\circ$ w zależności od l wraz z obliczeniami do wyznaczenia regresji liniowej

2.3. Wnioski

Po wykonaniu obu ćwiczeń potwierdzono anharmoniczność ruchu wahadła matematycznego oraz uzyskano 2 wartości przyspieszenia ziemskiego: $9.789(31) \frac{m}{s^2}$ oraz $9.773(23) \frac{m}{s^2}$.

Znając wartość przyspieszenia ziemskiego w Warszawie ($g \approx 9,8123 \frac{m}{s^2}$) można zauważyć, że w drugim ćwiczeniu pomimo zastosowania korekty na anharmoniczność drgań przy serii pomiarów dla dużego kąta ($\theta_{max} = 25^\circ$), uzyskana wartość przyspieszenia ziemskiego była mniej dokładna niż wartość uzyskana bez zastosowania korekty przy serii pomiarów dla kąta mniejszego ($\theta_{max} = 10^\circ$). Oznacza to, że niedoskonałości sprzętu pomiarowego i błędy eksperymentatorów znacznie wpłynęły na wyniki pomiarów. To przypuszczenie dodatkowo potwierdza kształt wykresu odchylenia standardowego z pierwszego ćwiczenia (rysunek ??).

Aby zmniejszyć niedoskonałości pomiarów należałoby zadbać o dokładniejszy sposób odczytu kąta maksymalnego wychylenia wahadła (wyeliminować zjawisko paralaksy) oraz dodać do układu pomiarowego możliwość mechanicznego zwalniania obciążnika wahadła, eliminując tym samym przypadki zarówno wprawienia wahadła w ruch w 2 płaszczyznach jak i nadawania mu prędkości początkowej.